

01

© 1992 г.

H-ТЕОРЕМА ДЛЯ НЕИЗОТРОПНЫХ ЧАСТИЦ ПРИ НАЛИЧИИ ВЫДЕЛЕННОГО НАПРАВЛЕНИЯ В ПРОСТРАНСТВЕ

А. Я. Эндер

Рассматривается кинетическое уравнение для неізотропных частиц при наличии выделенного направления в пространстве. Для произвольной зависимости сечения рассеяния от углов между относительной скоростью до и после столкновения с выделенным направлением проводится доказательство H -теоремы. Показано, что такое доказательство может быть проведено на основе связей между сечениями прямого и обратного процессов, вытекающих из симметрии процесса рассеяния по отношению к обращению времени. Производство энтропии оказывается положительным для каждого канала взаимодействия по отдельности. Выведенные при доказательстве H -теоремы формулы будут полезны при вычислении интеграла столкновений и скорости изменения различных молекулярных признаков для неізотропных частиц.

Из условия равновесия максвелл-большмановского распределения могут быть получены связи между усредненными сечениями прямого и обратного процессов [1, 2]. Возникает вопрос, достаточно ли этих условий для доказательства H -теоремы. Особенно важен этот вопрос при наличии в пространстве выделенного направления, которое может быть задано, например, внешним полем. В качестве примера будем рассматривать случай, когда в системе имеется магнитное поле. Именно в этом случае нарушается принцип микроскопического детального баланса [3], который используется при стандартном выводе кинетического уравнения [4] и при доказательстве H -теоремы.

При наличии достаточно сильного магнитного поля снимается вырождение и каждый сорт частиц характеризуется вполне определенной проекцией момента на ось h , направленную вдоль магнитного поля. Такие частицы оказываются, вообще говоря, неізотропными и потенциал их взаимодействия не обладает центральной симметрией.

В [5] утверждается, что для доказательства H -теоремы достаточно использования некоторых усредненных по всем состояниям частиц связей между сечениями, которые следуют из унитарности S -матрицы. Это же доказательство в несколько иных обозначениях приводится в [6]. Метод доказательства, основанный на использовании математического тождества

$$1 - y + \ln y \leq 0, \quad (1)$$

как отмечается в [6], был предложен Паули. При этом по сути доказательства суммируется вклад в производство энтропии всех столкновительных процессов. Несмотря на всю простоту и изящность этого доказательства, от него остается некоторая неудовлетворенность. По существу в [5] доказывається, что в системе при учете всех взаимодействий энтропия возрастает. Однако это не исключает, что какой-то из каналов взаимодействия приводит к убыванию энтропии и оно компенсируется возрастанием в другом канале. Такая ситуация представляется противоречащей общим принципам термодинамики. Кроме того, в [5] доказательство проводилось при отсутствии в системе выделенного направления. Соотношения из [1, 2], занимая промежуточное положение между соотношениями Штюкельберга [5] и детальным балансом, позволяют провести доказательство H -теоремы для отдельного канала взаимодействия. В общем случае для бинарных реакций канал взаимодействия — это некоторая реакция $a + b \rightleftharpoons c + d$, где частицы

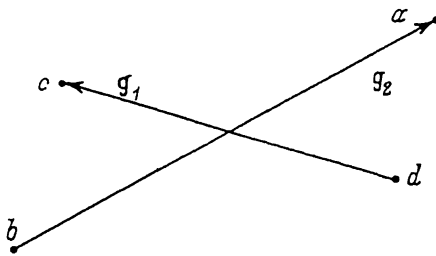


Рис. 1. Изменение относительной скорости при взаимодействии частиц по каналу $a+b \neq c+d$.

a, b, c, d могут отличаться или химическим, или энергетическим состоянием.

Если в системе имеется магнитное поле, направленное по оси h , то частицы с различными проекциями момента на эту ось имеют различную энергию и в равновесии в соответствии с формулой Больцмана имеют различную заселенность. Условия равновесия такой системы можно исследовать так же, как и в обычной системе с неупругими бинарными столкновениями [1], при одном существенном отличии: сечения столкновений зависят от направления относительной скорости. Дифференциальное сечение зависит теперь от углов между осью h и относительными скоростями до и после столкновения. С учетом этого обстоятельства связи между полными сечениями имеют вид [2]

$$\begin{aligned} \left(1 - \frac{\delta ab}{2}\right) \sum \langle a, b, x_h | c, d \rangle \mu_{ab}^2 g_2^2 &= \left(1 - \frac{\delta cd}{2}\right) \sum \langle c, d | a, b, x_h \rangle \mu_{cd}^2 g_1^2, \\ \left(1 - \frac{\delta ab}{2}\right) \sum \langle a, b | c, d, x_h \rangle \mu_{ab}^2 g_2^2 &= \left(1 - \frac{\delta cd}{2}\right) \sum \langle c, d, x_h | a, b \rangle \mu_{cd}^2 g_1^2, \end{aligned} \quad (2)$$

$$\frac{\mu_{cd}}{2} g_1^2 = \frac{\mu_{ab}}{2} g_2^2 + E_a + E_b - E_c - E_d,$$

$$\mu_{cd} = \frac{m_c m_d}{m_c + m_d}; \mu_{ab} = \frac{m_a m_b}{m_a + m_b}; \delta_{ab} = \begin{cases} 1, & a = b, \\ 0, & a \neq b. \end{cases} \quad (3)$$

Здесь относительные скорости g_1 и g_2 обозначены в соответствии с рис. 1, x_h — косинус угла между направлением соответствующей скорости и осью h , E_i — внутренняя энергия частицы сорта i . Для определенности предполагаем, что $g_2 \geq g_1$. Здесь в первом соотношении слева проведено усреднение по всем углам разлета, а справа — по всем углам до столкновения. При отсутствии выделенного направления сечения не зависят от x_h , а связи между сечениями (2) в этом случае выведены в [7] из симметрии процесса рассеяния по отношению к обращению времени. В [1] показано, что для изотропных частиц эти связи являются необходимыми условиями для равновесия максвелл-больцмановского распределения. Введем единичный вектор e вдоль относительной скорости частиц и обозначим единичные векторы вдоль g_1 и g_2 через e_1 и e_2 . Часто будем обозначать $g_1 = g$. В общем случае дифференциальное сечение рассеяния может зависеть, кроме величины g , от направлений e_1 и e_2 . Сохраним в обозначении дифференциального сечения только по одному из индексов пары частиц до и после столкновения. Для дальнейшего удобно выделить из сечения рассеяния угловую часть. Тогда

$$\sigma_{a,c}(e_1 | e_2; g) = \sum_{a,c} \bar{J}_{a,c}(g) J_{a,c}(e_1 | e_2; g),$$

$$J_{a,c}(e_1, e_2; g) = J(a, b, e_1 | c, d, e_2; g). \quad (4)$$

Здесь $\bar{\sum}$ обозначает усредненное по углам столкновения и проинтегрированное по углам разлета дифференциальное сечение. Следовательно,

$$\frac{1}{4\pi} \int J_{a,c}(e_1, e_2; g) de_1 de_2 = 1. \quad (5)$$

Часто для краткости аргумент g функции $J_{a,c}(e_1 | e_2; g)$ будем опускать. Введем обозначения $J(e_1 | \cdot)$, $J(\cdot | e_2)$ для функции J , усредненной соответственно по углам разлета или столкновения. Зависимость угловой части рассеяния от двух векторов e_1 и e_2 связана с неизотропностью частиц. Наличие внешнего поля приводит к тому, что каждый сорт частиц обладает своей неизотропностью. Наглядно это можно представить так, что некоторые сорта частиц вытянуты вдоль поля, а другие сжаты по этой оси. При наличии одного выделенного направления h функция J инвариантна относительно поворота вокруг этого направления, т. е. зависит не от четырех углов, определенных векторами e_1 и e_2 , а только от трех. Это углы векторов e_1 , e_2 относительно h и ε — угол между плоскостями (e_1, h) и (e_2, h) . Обозначим

$$x_1 = \cos(e_1, \hat{h}), \quad x_2 = \cos(e_2, \hat{h}).$$

Тогда

$$J(e_1, e_2) = J(x_1 | x_2; \varepsilon)$$

Угол ε может выступать в качестве полярного угла как при интегрировании по e_1 , так и по e_2 . Из (2) помимо связи между усредненными сечениями

$$\left(1 - \frac{1}{2}\delta_{ab}\right) \bar{\sum} a, c \mu_{ab}^2 g_2^2 = \left(1 - \frac{1}{2}\delta_{cd}\right) \bar{\sum} c, a \mu_{cd}^2 g_1^2 \quad (6)$$

следует

$$\begin{aligned} J_{a,c}(x_2 | \cdot) &= J_{c,a}(\cdot | x_2), \\ J_{c,a}(x_1 | \cdot) &= J_{a,c}(\cdot | x_1). \end{aligned} \quad (7)$$

Условию микроскопического детального баланса соответствует инвариантность функции J относительно перестановки $e_1 \rightleftharpoons e_2$ или в наших обозначениях

$$J_{a,c}(e_2 | e_1) = J_{c,a}(e_1 | e_2); \quad (8)$$

$$J_{a,c}(x_2 | x_1; \varepsilon) = J_{c,a}(x_1 | x_2; -\varepsilon). \quad (9)$$

Из обратимости уравнений движения по времени следует, что сечение рассеяния инвариантно относительно одновременной замены $e_1 \rightarrow -e_1$, $e_2 \rightarrow -e_2$ и $h \rightarrow -h$ [3], что в наших обозначениях дает

$$J(x_1 | x_2; \varepsilon) = J(x_2 | x_1; \varepsilon). \quad (10)$$

Таким образом, (2), (6) и (7) вытекают из обратимости уравнений движения по времени.

Для упрощения выкладок будем считать, что все частицы a, b, c, d различны и имеют равную массу. Выделим из множества столкновений такие, при которых относительная скорость g_2 между частицами a и b одна и та же по абсолютной величине. В силу закона сохранения энергии постоянной оказывается и величина относительной скорости g_1 между частицами c и d .

Рассмотрим прежде всего случай, когда $E_a + E_b = E_c + E_d$, т. е. $|g_2| =$

$= |g_1| = g$. Закону сохранения импульса соответствует сохранение неизменной скорости центра инерции $v_{ц}$; акту столкновения соответствует поворот вектора относительной скорости (рис. 2).

Вычислим теперь, как изменяется функция распределения частиц сорта a в точке v_1 за счет столкновений по выбранному нами каналу j . Можно записать

$$\frac{df^a(v_1)}{dt} \Big|_j = \int_0^\infty g^3 \sum_j \bar{\Sigma}_j(g) R_{j,g}^a(v_1) dg = R_{+j}^a - R_{-j}^a, \quad (11)$$

$$R_{j,g}^a(v_1) = R_{+j,g}^a(v_1) - R_{-j,g}^a(v_1). \quad (12)$$

Здесь $R_{\pm j,g}^a(v_1)$ — величины, пропорциональные скорости образования и исчезновения частиц сорта a в точке v_1 за счет столкновений по данному каналу j при фиксированном значении относительной скорости g ; R_{\pm}^a — соответствующие величины, проинтегрированные с $\bar{\Sigma}(g)$ по g . При вычислении $R_{\pm j,g}^a$ не важно знать, как повернется вектор e после столкновения, а достаточно установить сам факт столкновения, следовательно, в это выра-

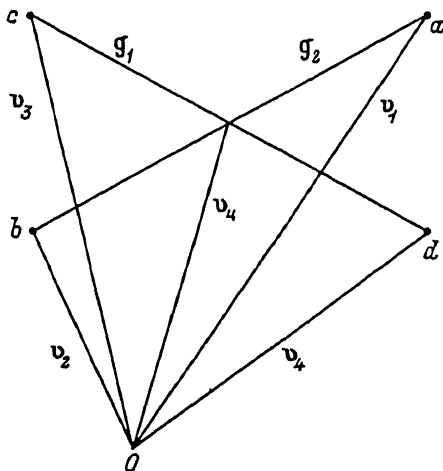


Рис. 2. Диаграмма рассеяния для частиц равной массы и неизменной величины относительной скорости. (0 — начало отсчета).

жение входит сечение, проинтегрированное по углам разлета,

$$R_{-j,g}^a(v_1) = 4\pi \int de_2 f^a(v_1) f^b(v_2) J_{a,c}(x_2 | \cdot). \quad (13)$$

Здесь скорость v_1 фиксирована, а скорость $v_2 = v_1 - g_2$. Интегрирование по e_2 представляет собой перебор всех допустимых положений $v_{ц}$, поскольку вектор e_2 характеризует взаимное расположение $v_{ц}$ и v_1 . При вычислении $R_{+j,g}^a$ также необходимо перебрать все возможные положения $v_{ц}$, т. е. выполнить интегрирование по e_2 , поскольку в этом случае положение $v_{ц}$ относительно v_1 определяется направлением разлета частиц e_2 . Кроме того, необходимо при фиксированном положении $v_{ц}$ перебрать все возможные направления e_1 с учетом вероятности поворота вектора e из e_1 в e_2

$$R_{+j,g}^a = \iint de_1 de_2 f^c(v_3) f^d(v_4) J_{c,a}(x_1 | x_2; \varepsilon). \quad (14)$$

Используя (7), имеем

$$J_{a,c}(x_2 | \cdot) = J_{c,a}(\cdot | x_2) = \frac{1}{4\pi} \int J_{c,a}(x_1 | x_2; \varepsilon) d\varepsilon$$

и, следовательно,

$$R_{j,g}^a(v_1) = \iint de_1 de_2 (f^c(v_3) f^b(v_4) - f^a(v_1) f^b(v_2)) J_{a,c}(x_1 | x_2; \varepsilon). \quad (15)$$

Здесь v_1 фиксирована, а остальные скорости в соответствии с рис. 2 определяются следующим образом:

$$v_2 = v_1 - g_2, \quad v_{\text{ц}} = v_1 - g_2/2, \quad v_3 = v_{\text{ц}} + g_1/2, \quad v_4 = v_{\text{ц}} - g_1/2. \quad (16)$$

Выражение $R_{j,g}^b(v_2)$ совпадает с (15) с одним отличием, что интегрирование выполняется при $v_2 = \text{const}$. С той же оговоркой совпадают между собой и выражения для $R_{j,g}^c(v_3)$ и $R_{j,g}^d(v_4)$

$$R_{j,g}^c(v_3) = \iint de_1 de_2 (f^a(v_1) f^b(v_2) - f^c(v_3) f^d(v_4)) J_{a,c}(x_2 | x_1; -\varepsilon). \quad (17)$$

Выпишем теперь вклад в изменение некоторого молекулярного признака из-за столкновения по каналу j . Используя (11), получаем

$$\frac{d\langle G \rangle_j}{dt} = \int_0^{\infty} g^3 \sum_j \bar{G}(g) \langle \dot{G} \rangle_{j,g} dg. \quad (18)$$

Здесь

$$\langle \dot{G} \rangle_{j,g} = \langle \dot{G}^a \rangle_{j,g} + \langle \dot{G}^b \rangle_{j,g} + \langle \dot{G}^c \rangle_{j,g} + \langle \dot{G}^d \rangle_{j,g}, \quad (19)$$

где

$$\langle \dot{G}^a \rangle_{j,g} = \int R_{j,g}^a(v_1) G^a(v_1) dv_1, \quad (20)$$

и для произвольного i ($i = a, b, c, d$) величина скорости изменения молекулярного признака частиц сорта i при фиксированных значениях i и g

$$\langle \dot{G}^i \rangle_{j,g} = \int R_{j,g}^i(v_1) G^i(v_1) dv_1. \quad (21)$$

Функции $G^i(v)$ — это некоторые функции от скорости. Если

$$G^i(v) = -k \ln f^i(v), \quad (22)$$

где k — постоянная Больцмана, то по формулам (18)–(21) можно вычислить производство энтропии за счет взаимодействия по каналу j , т. е. $(dS/dt)|_j$. В интегралах (20), (21) можно перейти к интегрированию по $v_{\text{ц}}$. Для этого, например, в (20) интеграл по v_1 можно записать в качестве внутреннего интеграла. Тогда при фиксированных g, e_1, e_2 имеем $v_1 = v_{\text{ц}} + g_2/2$, где $g_2/2$ — постоянный сдвиг. Если теперь при интегрировании по v_1 или $v_{\text{ц}}$ выбрать декартовы координаты с одной из осей, направленной вдоль e_2 , то эквивалентность интегрирования по v_1 и $v_{\text{ц}}$ становится очевидной.

Используя выражение для $R_{j,g}^i(v_1)$ (15), (17), имеем

$$\begin{aligned} \langle \dot{G} \rangle_{j,g} = & \int dv_{\text{ц}} \iint de_1 de_2 (G^a(v_1) + G^b(v_2)) (f^c(v_3) f^d(v_4) - f^a(v_1) f^b(v_2)) \times \\ & \times J_{c,d}(x_1 | x_2; \varepsilon) + (G^c(v_3) + G^d(v_4)) (f^a(v_1) f^b(v_2) - f^c(v_3) f^d(v_4)) \times \\ & \times J_{a,c}(x_2 | x_1; -\varepsilon). \end{aligned} \quad (23)$$

Если бы выполнялись соотношения детального баланса (8), (9), то в (23) можно было бы, следуя Больцману, еще раз поменять обозначения скоростей и записать интегральную лемму в стандартном виде, что позволило бы легко доказать H -теорему. Тем не менее и выражение (23) может быть использовано для доказательства H -теоремы. Переход от (23) к более симметричному выра-

жению осуществим следующим образом. Обратим внимание, что в членах, возникших из угодных членов (13), одно из интегрирований по углам относится только к угловой части рассеяния и не касается сомножителей, зависящих от функции распределения. В соответствующих членах можно сделать замену под знаком интеграла. Используя (7), получаем

$$\begin{aligned} \frac{1}{4\pi} \int J_{c,a}(x_1 | x_2; \varepsilon) de_1 &= J_{c,a}(\cdot | x_2) = J_{a,c}(x_2 | \cdot) = \frac{1}{4\pi} \int J_{a,c}(x_2 | x_1; -\varepsilon) de_1, \\ \frac{1}{4\pi} \int J_{a,c}(x_2 | x_1; -\varepsilon) de_2 &= J_{a,c}(\cdot | x_1) = J_{c,a}(x_1 | \cdot) = \\ &= \frac{1}{4\pi} \int J_{a,c}(x_1 | x_2; -\varepsilon) de_2. \end{aligned} \quad (24)$$

Тогда из (23) получаем

$$\begin{aligned} \langle \dot{G} \rangle_{j,g} &= \int dv_{\text{ц}} \iint de_1 de_2 (G^a(v_1) + G^b(v_2) - G^c(v_3) + G^d(v_4)) f^c(v_3) f^d(v_4) \times \\ &\times J_{c,a}(x_1 | x_2; \varepsilon) + (G^c(v_3) + G^d(v_4) - G^a(v_1) - G^b(v_2)) f^a(v_1) f^b(v_2) \times \\ &J_{a,c}(x_2 | x_1; -\varepsilon). \end{aligned} \quad (25)$$

Из этого соотношения следует в частности, что если в процессе столкновения некоторый молекулярный признак сохраняется, то соответствующая величина $\langle G \rangle_{j,g}$ обращается в нуль. Выпишем закон сохранения числа частиц, подставив в (23) $G = 1$. В результате получаем

$$\begin{aligned} \int \dot{dv}_{\text{ц}} \iint de_1 de_2 (f^c(v_3) f^d(v_4) - f^a(v_1) f^b(v_2)) J_{c,a}(x_1 | x_2; \varepsilon) + \\ + f^a(v_1) f^b(v_2) - f^c(v_3) f^d(v_4)) J_{a,c}(x_2 | x_1; -\varepsilon) = 0. \end{aligned} \quad (26)$$

Обозначим

$$y_1 = \frac{f^a(v_1) f^b(v_2)}{f^c(v_3) f^d(v_4)}, \quad y_2 = \frac{1}{y_1}. \quad (27)$$

Тогда (26) можно переписать в виде

$$\begin{aligned} \int dv_{\text{ц}} \iint de_1 de_2 ((1 - y_1) f^c(v_3) f^d(v_4) J_{c,a}(x_1 | x_2; \varepsilon) + \\ + (1 - y_2) f^a(v_1) f^b(v_2) J_{a,c}(x_2 | x_1; -\varepsilon)) = 0. \end{aligned} \quad (28)$$

Подставляя в (25) в качестве молекулярного признака (22), получаем

$$\begin{aligned} \langle \dot{S} \rangle_{j,g} &= -k \int dv_{\text{ц}} \iint de_1 de_2 (\ln y_1 f^c(v_3) f^d(v_4) J_{c,a}(x_1 | x_2; \varepsilon) \times \\ &\times \ln y_2 f^a(v_1) f^b(v_2) J_{a,c}(x_2 | x_1; -\varepsilon)). \end{aligned} \quad (29)$$

Умножим тождество (28) на k и вычтем его из (29). Тогда получим

$$\begin{aligned} \langle \dot{S} \rangle_{j,g} &= k \int dv_{\text{ц}} \iint de_1 de_2 ((y_1 - 1 - \ln y_1) f^c(v_3) f^d(v_4) J_{c,a}(x_1 | x_2; \varepsilon) + \\ &+ (y_2 - 1 - \ln y_2) f^c(v_3) f^d(v_2) J_{a,c}(x_2 | x_1; -\varepsilon)). \end{aligned} \quad (30)$$

Поскольку функции $J(x_1 | x_2; \varepsilon)$, $f^a(v_2)$ и $f^b(v_3)$ имеют смысл вероятностей, то они не могут быть меньше нуля. Для любых положительных u выполнено неравенство (1), причем $u - 1 - \ln u = 0$ только при $u = 1$. Следовательно, подынтегральное выражение в (30) неотрицательно и $\langle S \rangle_{j,g} \geq 0$.

Рассмотрим теперь канал $a + b \rightleftharpoons c + d$ в случае, когда внутренняя энергия не сохраняется. Для определенности будем считать, что $E_a + E_b > E_c + E_d$. Это значит, что величины относительных скоростей связаны соотношением

$$g_2^2 = g_1^2 + \frac{4}{m} E_p, \quad E_p = E_c + E_d - E_a - E_b. \quad (31)$$

Основные изменения по сравнению с предыдущим связаны с интегрированием по g . Так, если частицы до столкновения были в состояниях a и b , т. е. процесс идет с поглощением поступательной энергии, то интегрирование по g_2 надо проводить не от 0, а от $2(E_p/m)^{1/2}$. Теперь для частиц сорта a в точке v_1 имеем

$$R_{-j}^a(v_1) = \int_{2\sqrt{E_p/m}}^{\infty} g_2^3 \bar{\Sigma}(a, b | c, d) R_{-j,g}^a(v_1) dg_2, \quad (32a)$$

$$R_{+j}^a(v_1) = \int_0^{\infty} g_1^3 \bar{\Sigma}(c, d | a, b) R_{+j,g}^a(v_1) dg_1 \quad (32b)$$

Формулы для $R_{-j,g}^a(v_1)$ и $R_{+j,g}^a(v_1)$ полностью совпадают с (13), (14), а скорости v_1, v_2, v_3, v_4 по заданным v_1, g_1, g_2 определяются с помощью (16), где только надо учитывать, что $|g_1| \neq |g_2|$. В (32a) можно перейти от интегрирования по g_2 к интегрированию по g_1 . Из (32) следует, что $g_2 dg_2 = g_1 dg_1$. Учтем также, что

$$g_2^2 \bar{\Sigma}(a, b | c, d) = g_1^2 \bar{\Sigma}(c, d | a, b). \quad (33)$$

После перехода к интегрированию по g_1 нижний предел интегрирования становится равным нулю. Если перейти к интегрированию по g_1 , воспользовавшись

(31)—(33) и обозначив $g_1^2 \bar{\Sigma}(a, b | c, d) = g^2 \bar{\Sigma}_j$, то выражения $R_{-j}^a(v_1)$ и $R_{+j}^a(v_1)$ будут полностью совпадать с соответствующими выражениями без изменения внутренней энергии. Тогда, так же как раньше, выводятся кинетические уравнения в симметричной форме (15) и вся остальная часть доказательства H -теоремы остается в силе.

Незначительные изменения возникают, если на одном из концов реакции частицы оказываются одинаковыми. В [1] показано, что в приходном члене, связанном с реакцией $c + d \rightarrow a + b$, имеется коэффициент $(1 + \delta_{ab}) \cdot (1 - \delta_{cd}/2)$. Рассмотрим в качестве канала j реакцию $a + a \rightleftharpoons c + d$. В этом случае перед $R_{+j}^a(v_1)$ появляется коэффициент 2. Если выразить с помощью (2) $\bar{\Sigma}(a, a | c, d)$ через $\bar{\Sigma}(c, b | a, a) = \bar{\Sigma}_j$, то коэффициент 2 появится и перед $R_{-j}^a(v_1)$. Таким образом, вместо (11) имеем

$$\left. \frac{df^a(v_1)}{dt} \right|_j = 2 \int_0^{\infty} g^3 \bar{\Sigma}_j(g) R_{j,g}^a(v_1) dg, \quad (34)$$

где $R_{j,g}^a(v_1)$ определяется по (12)—(15) заменой $f^b(v)$ на $f^a(v)$.

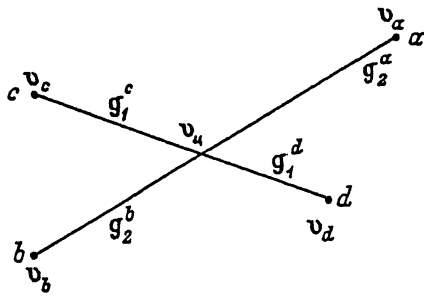


Рис. 3. Диаграмма рассеяния при изменении масс частиц в ходе столкновения.

В этих же обозначениях формулы для $df^c(v_3)/dt \Big|_j$ и $df^d(v_4)/dt \Big|_j$ совпадают с предыдущими с заменой $f^b(v)$ на $f^a(v)$.

При вычислении скорости изменения молекулярного $\langle G^a \rangle_j$, g также получим удвоенное выражение, которое симметрично относительно замены $v_1 \rightleftharpoons v_2$. После формальной замены переменных под знаком интегрирования по e_1 и e_2 получим

$$\begin{aligned} \langle \dot{G}^a \rangle_{j,g} &= \int dv_{\text{ц}} \int \int de_1 de_2 \left(G^a(v_1) + G^a(v_2) \right) \times \\ &\times \left(f^c(v_3) f^d(v_4) - f^a(v_1) f^a(v_2) \right) J_{c,a}(x_1 | x_2; \varepsilon). \end{aligned} \quad (35)$$

Тогда для $\langle \dot{G} \rangle_{j,g}$ приходим к формуле (23) с заменой индекса b на a . Дальнейшее доказательство H -теоремы остается без изменений.

Рассмотрим теперь самый общий случай, когда не только $E_p \neq 0$, но и все массы частиц различны. В этом случае величины g_1 и g_2 различаются не только из-за перехода части внутренней энергии в поступательную, но и в связи с возможным отличием приведенных масс μ_{ab} и μ_{cd} (3). Кроме того, теперь центр инерции делит скорости g_1 и g_2 не пополам, а обратно пропорционально массам (рис. 3).

$$\begin{aligned} g_2^a &= |v_a - v_{\text{ц}}|, \quad g_2^b = |v_b - v_{\text{ц}}|, \quad g_1^c = |v_c - v_{\text{ц}}|, \quad g_1^d = |v_d - v_{\text{ц}}|, \\ g_2^a/g_2^b &= m_b/m_a, \quad g_1^c/g_1^d = m_d/m_c \\ g_2^a + g_2^b &= g_2, \quad g_1^c + g_1^d = g_1. \end{aligned} \quad (36)$$

Отсюда следует

$$\begin{aligned} g_2^a &= \frac{m_b}{m_a + m_b} g_2, \quad g_2^b = \frac{m_a}{m_a + m_b} g_2, \\ g_1^c &= \frac{m_d}{m_c + m_d} g_1, \quad g_1^d = \frac{m_c}{m_c + m_d} g_1. \end{aligned} \quad (37)$$

С учетом (3) теперь имеем

$$R_{-j}^a(v_1) = \int_{\sqrt{2E_p/\mu_{ab}}}^{\infty} g_2^3 \sum_{\bar{}} (a, b | c, d) R_{-j,g}^a(v_1) dg_2, \quad (38a)$$

$$R_{+j}^a(v_1) = \int_0^\infty g_1^3 \bar{\Sigma} (c, d | a, b) R_{+j, g}^a(v_1) dg_1. \quad (38б)$$

Используя (2) и (3), перейдем в (38а) от переменной g_2 к переменной g_1

$$R_{-j}^a(v_1) = \int_0^\infty g_1^3 \bar{\Sigma} (c, d | a, b) \left(\frac{\mu_{cd}}{\mu_{ab}} \right)^3 R_{-j}^a(v_1) dg_1. \quad (39)$$

Поскольку $m_a + m_b = m_c + m_d$, то имеем

$$\left(\frac{\mu_{cd}}{\mu_{ab}} \right)^3 = \left(\frac{m_c m_d}{m_a m_b} \right)^3 \quad (40)$$

Из (12), (38), (39) и (40) следует, что определить следующим образом:

$$R_{j, g}^a(v_1) = \iint de_1 de_2 \left(f^c(v_3) f^d(v_4) - \left(\frac{m_c m_d}{m_a m_b} \right)^3 f^a(v_1) f^b(v_2) \right) \times \\ \times J_{c, a}(x_1 | x_2; \varepsilon). \quad (41)$$

Для $R_{j, g}^c(v_1)$ вместо (17) имеем

$$R_{j, g}^c(v_3) = \iint de_1 de_2 \left(\left(\frac{m_c m_d}{m_a m_b} \right)^3 f^a(v_1) f^b(v_2) - f^c(v_3) f^d(v_4) \right) \times \\ \times J_{a, c}(x_2 | x_1; -\varepsilon) \quad (42)$$

При вычислении произведения энтропии необходимо сделать несколько замечаний. Как известно [8], определение энтропии в виде среднего от $G^i(v) = -k \ln f^i(v)$ не совсем корректно, поскольку под знаком логарифма стоит размерная величина и при изменении единицы измерения будет меняться и энтропия. Как правило, при вычислении изменения энтропии при бинарных реакциях это несущественно. Однако в случае изменения массы частиц в ходе реакции необходимы уточнения. При точном определении энтропии под знаком логарифма должна стоять вероятность попадания частицы в элементарную квантовую ячейку в фазовом пространстве. Объем этой ячейки — $(2\pi\hbar^3)$, где \hbar — постоянная Планка. Вероятность попадания в такую ячейку определяется как $(2\pi\hbar)^3 \rho(p)$, где $\rho(p)$ — функция распределения по импульсам. При использовании функции распределения по скоростям вероятность определяется как $(2\pi\hbar/m_i)^3 f^i(v)$, а в качестве молекулярного признака при вычислении энтропии вместо (22) следует использовать

$$G^i(v) = -k \ln ((2\pi\hbar/m_i)^3 f^i(v)). \quad (43)$$

Используя это определение, (41), (42) и совершая преобразование по аналогии с (25)—(30), получим

$$\langle \dot{S} \rangle_{j, g} = k \int dv_u \iint de_1 de_2 ((y_1 - 1 - \ln y_1) f^c(v_3) f^d(v_4) J_{c, a}(x_1 | x_2; \varepsilon) + \\ + (y_2 - 1 - \ln y_2) \left(\frac{m_c m_d}{m_a m_b} \right)^3 f^a(v_1) f^b(v_2) J_{c, a}(x_1 | x_2; -\varepsilon)), \quad (44)$$

где

$$y_1 = \left(\frac{m_c m_d}{m_a m_b} \right)^3 \frac{f^a(v_1) f^b(v_2)}{f^c(v_3) f^d(v_4)}, \quad y_2 = \frac{1}{y_1}. \quad (45)$$

Таким образом, для любого канала взаимодействия при двойных столкновениях можно доказать H -теорему при постоянном g , т. е. производство энтропии при фиксированных значениях j и g оказывается положительным. После интегрирования по g отсюда вытекает положительность производства энтропии для каждого канала, а после суммирования по всем возможным столкновительным каналам — положительность производства энтропии в системе.

В заключение следует отметить, что выведенные при доказательстве H -теоремы формулы могут оказаться полезными при конкретных вычислениях скоростей изменения различных молекулярных признаков. В частности, это могут быть моменты от функции распределения или коэффициенты разложения по полиномам Эрмита. Выделение интегрирования по углам e_1 и e_2 может оказаться особенно удобным при анализе влияния неизотропности частиц на генерацию различных моментов.

Список литературы

- [1] Эндер А. Я. // Вестник ЛГУ. Сер. мат., мех. и астрон. 1966. № 19. С. 116—128.
- [2] Эндер А. Я. // ЖТФ. 1971. Т. 41. Вып. 2. С. 272—281.
- [3] Блохинцев Д. И. // ЖЭТФ. 1947. Т. 17. Вып. 10. С. 924—936.
- [4] Коган М. Н. // ПМТФ. 1965. № 1. С. 32—44.
- [5] Stueckelberg E. C. G. // Helv. Phys. Asta. 1952. Vol. 25. P. 577—580.
- [6] Вальдман Л. // Термодинамика газов. М.: Машиностроение, 1970. С. 159—407.
- [7] Ландау Л. Д., Лифшиц Е. М. // Квантовая механика. М.: Физматгиз, 1963. 702 с.
- [8] Ландау Л. Д., Лифшиц Е. М. // Статистическая физика. М.: Наука, 1964. 567 с.

Физико-технический институт
им. А. Ф. Иоффе
С.-Петербург'

Поступило в редакцию
5 мая 1991 г.